



# Sangiovese (clone CCL 2000/1)

Scalabrelli G., D'Onofrio C., Ferroni G., 2015. Sangiovese (clone CCL 2000/1). In: Italian Vitis Database, www.vitisdb.it, ISSN 2282-006X

release 29/06/2015, ultimo aggiorn. 26/07/2015 url <http://vitisdb.it/accessions/show/116>

## Informazioni gestite da

Dipartimento di Scienze Agrarie, Alimentari e Agro-ambientali (DiSAAA-a) - Università di Pisa

## Ringraziamenti

Fondazione AGER (AGER Foundation)

## Informazioni generali

**nome** Sangiovese (clone CCL 2000/1)  
**nazione di selezione** Italia  
**provincia di selezione** Siena  
**istituzione custode** Dipartimento di Scienze Agrarie, Alimentari e Agro-ambientali (DiSAAA-a) - Università di Pisa  
**collezione** Tos.Co.Vit.  
**codice** ITA419-71  
**regione di selezione** Toscana  
**località di selezione** Chianti

## Varietà & clone

**tipo di origine** spontanea  
**specie** Vitis vinifera  
**varietà** Sangiovese  
**clone** I - CCL 2000/1  
**genere** Vitis  
**sub specie** sativa  
**codice della varietà** IVD-var\_1  
**trueness to type** accertato con rilievi morfologici e microsatelliti

## Trueness to type

### True-name

confermato **si**

### ►bibliografia correlata (1)

| autori                    | anno | titolo        | rivista | citazione   |
|---------------------------|------|---------------|---------|---|
| Breviglieri N., Casini E. | 1965 | Il Sangiovese |         | Ministero dell'Agricoltura e delle Foreste - Principali vitigni da vino coltivati in Italia - Volume IV |

### Trueness to type accertato con rilievi morfologici (ampelografici)

accertamento con rilievi morfologici (ampelografici) **accertato**

### ►bibliografia correlata (1)

| autori                    | anno | titolo        | rivista | citazione   |
|---------------------------|------|---------------|---------|---|
| Breviglieri N., Casini E. | 1965 | Il Sangiovese |         | Ministero dell'Agricoltura e delle Foreste - Principali vitigni da vino coltivati in Italia - Volume IV |

### Trueness to type accertato con microsatelliti

accertamento con microsatelliti **accertato**

### ►bibliografia correlata (1)

| autori   | anno | titolo   | rivista   | citazione       |
|--|------|--|---|-----------------|
| Di Vecchi-Staraz M., Bandinelli R., Boselli M., Patrice T., Boursiquot J.M., Laucou V., Lacombe T. | 2007 | Genetic Structuring and Parentage Analysis for Evolutionary Studies in Grapevine: Kin Group and Origin of the Cultivar Sangiovese Revealed | Journal of the American Society for Horticultural Science | 132(4): 514-524 |

loci confrontati **13**

loci identici **13**

discrepanze **no**

## Profilo microsatellite standardizzato

| loci:       | loci predefiniti ( 9 ) |     |       |     |       |     |        |     |         |     |         |     |        |     |        |     |        |     |
|-------------|------------------------|-----|-------|-----|-------|-----|--------|-----|---------|-----|---------|-----|--------|-----|--------|-----|--------|-----|
| locus SSR:  | VVS2                   |     | VVMD5 |     | VVMD7 |     | VVMD27 |     | VrZAG62 |     | VrZAG79 |     | VVMD25 |     | VVMD28 |     | VVMD32 |     |
| allele:     | A1                     | A2  | A1    | A2  | A1    | A2  | A1     | A2  | A1      | A2  | A1      | A2  | A1     | A2  | A1     | A2  | A1     | A2  |
| dimensione: | 133                    | 133 | 225   | 235 | 239   | 263 | 179    | 185 | 194     | 196 | 243     | 259 | 242    | 242 | 237    | 247 | 253    | 257 |

Vi sono altri loci consultabili online

## Immagini



germoglio



germoglio pagina superiore



germoglio pagina inferiore



gemma



foglia



foglia pagina superiore



foglia pagina inferiore



seno peziolare



grappolo





acino



vinacciolo

## Ampelografia

| OIV | descrizione   | valore  |                          | immagini |
|-----|---|---------|--------------------------|----------|
| 001 | Giovane germoglio: apertura dell'apice  | 5       | completamente aperto     |          |
| 003 | Giovane germoglio: intensità della pigmentazione antocianica dei peli striscianti dell'apice            | 1       | nulla o molto bassa      |          |
| 004 | Giovane germoglio: densità dei peli striscianti dell'apice  | 5       | media                    |          |
| 006 | Germoglio: portamento (prima della legatura)  | 3       | semi-eretto              |          |
| 007 | Germoglio: colore del lato dorsale degli internodi  | 1       | verde                    |          |
| 008 | Germoglio: colore del lato ventrale degli internodi   | 1       | verde                    |          |
| 016 | Germoglio: numero di viticci consecutivi  | 1       | 2 o meno                 |          |
| 051 | Foglia giovane: colore della pagina superiore del lembo (4 a foglia)                                    | 1 / 2   | verde / giallo           |          |
| 053 | Foglia giovane: densità peli striscianti tra le nervature principali della pagina inferiore (4a foglia) | 5 (Ø 3) | media                    |          |
| 067 | Foglia adulta: forma del lembo  | 2 / 3   | cuneiforme / pentagonale |          |

|       |  |       |  |   |
|-------|--|-------|--|---|
| 068   | Foglia adulta: numero dei lobi   | 3     | cinque   |    |
| 070   | Foglia adulta: distribuzione pigmentazione antocianica nervature principali pagina superiore             | 1     | assente  |   |
| 072   | Foglia adulta: depressioni del lembo   | 1     | assenti o molto deboli   |   |
| 074   | Foglia adulta: profilo del lembo in sezione trasversale  | 1     | piano  |   |
| 075   | Foglia adulta: bollosità della pagina superiore del lembo  | 1 / 3 | nulla o molto bassa / bassa                                    |   |
| 076   | Foglia adulta: forma dei denti   | 2 / 4 | entrambi i lati rettilinei / un lato concavo, un lato convesso |   |
| 079   | Foglia adulta: grado di apertura / sovrapposizione dei bordi del seno peziolare                          | 3     | aperto   |   |
| 080   | Foglia adulta: forma della base del seno peziolare   | 1     | a U  |   |
| 081-1 | Foglia adulta: denti del seno peziolare  | 1     | assenti  |   |
| 081-2 | Foglia adulta: base del seno peziolare delimitata dalla nervatura  | 1     | non delimitata   |   |
| 083-2 | Foglia adulta: denti nei seni laterali superiori   | 1     | assenti  |   |
| 084   | Foglia adulta: densità dei peli striscianti tra le nervature principali sulla pagina inferiore del lembo | 3     | bassa  |   |
| 087   | Foglia adulta: densità dei peli eretti sulle nervature principali della pagina inferiore del lembo       | 3     | bassa  |   |
| 094   | Foglia adulta: profondità dei seni laterali superiori  | 1     | assente o molto poco profondo                                  |   |
| 155   | Tralcio: fertilità delle gemme basali (gemme 1-3)  | 9     | molto alta (>1,9)  |   |
| 202   | Grappolo: lunghezza (escluso il peduncolo)   | 5     | medio  |   |
| 204   | Grappolo: compattezza  | 5     | medio  |   |
| 206   | Grappolo: lunghezza del peduncolo del grappolo principale  | 5     | medio  |   |
| 208   | Grappolo: forma  | 2     | conico   |   |
| 209   | Grappolo: numero di ali del grappolo principale  | 2     | 1 - 2 ali  |   |
| 220   | Acino: lunghezza   | 5     | medio  |  |
| 221   | Acino: larghezza   | 3 / 5 | stretto / medio  |   |
| 223   | Acino: forma   | 2 / 3 | sferoidale / ellissoidale largo                                |   |
| 225   | Acino: colore della buccia   | 6     | blu nero   |   |
| 231   | Acino: intensità della pigmentazione antocianica della polpa   | 1     | nulla o molto debole   |   |
| 235   | Acino: consistenza della polpa   | 2     | leggermente soda   |   |
| 236   | Acino: particolarità dell'aroma  | 1     | nessuna  |   |
| 241   | Acino: sviluppo dei vinaccioli   | 3     | completo   |   |

## Ampelometria

## OIV

| OIV | PDF | descrizione  | valore      |  |
|-----|-----|--|-------------|--|
| 601 | PDF | Foglia adulta: lunghezza della nervatura N1  | ( Ø 6.01 )  |  |
| 602 | PDF | Foglia adulta: lunghezza della nervatura N2  | ( Ø 7.11 )  |  |
| 603 | PDF | Foglia adulta: lunghezza della nervatura N3  | ( Ø 4.92 )  |  |
| 604 | PDF | Foglia adulta: lunghezza della nervatura N4  | ( Ø 3.37 )  |  |
| 605 | PDF | Foglia adulta: distanza dal seno peziolare al seno laterale superiore  | ( Ø 2.42 )  |  |
| 606 | PDF | Foglia adulta: distanza dal seno peziolare al seno laterale inferiore  | ( Ø 3.40 )  |  |
| 607 | PDF | Foglia adulta: angolo tra N1 e N2 misurato alla prima biforcazione   | ( Ø 62.00 ) |  |
| 608 | PDF | Foglia adulta: angolo tra N2 e N3 misurato alla prima biforcazione   | ( Ø 54.58 ) |  |
| 609 | PDF | Foglia adulta: angolo tra N3 e N4 misurato alla prima biforcazione   | ( Ø 62.64 ) |  |
| 610 | PDF | Foglia adulta: angolo tra N3 e la tangente tra il punto peziolare e l'estremità N5   | ( Ø 90.05 ) |  |
| 611 | PDF | Foglia adulta: lunghezza della nervatura N5  | ( Ø 1.71 )  |  |
| 612 | PDF | Foglia adulta: lunghezza del dente di N2   | ( Ø 2.21 )  |  |
| 613 | PDF | Foglia adulta: larghezza del dente di N2   | ( Ø 1.11 )  |  |
| 614 | PDF | Foglia adulta: lunghezza del dente di N4   | ( Ø 2.14 )  |  |
| 615 | PDF | Foglia adulta: larghezza del dente di N4   | ( Ø 1.01 )  |  |
| 616 | PDF | Foglia adulta: numero di denti tra il dente all'estremità di N2 e il dente all'estremità della prima nervatura secondaria di N2, inclusi i denti precitati | ( Ø 8.00 )  |  |
| 617 | PDF | Foglia adulta: distanza tra l'estremità di N2 e l'estremità della prima nervatura secondaria di N2   | ( Ø 3.97 )  |  |
| 618 | PDF | Foglia adulta: apertura/sovrapposizione del seno peziolare   | ( Ø 5.00 )  |  |

## Superampelo

| distanze   |         |                     |
|--|---------|---------------------|
| descrittore  | valore  | deviazione standard |
| Distanza dal seno peziolare al seno inferiore sinistro         | 64.414  | 6.350               |
| Distanza dal seno peziolare al seno inferiore destro           | 65.071  | 5.965               |
| Nervatura N3', lunghezza dal seno peziolare alla nervatura N4' | 12.064  | 2.252               |
| Nervatura N3, lunghezza dal seno peziolare alla nervatura N4   | 12.500  | 1.814               |
| Distanza dal seno peziolare al seno superiore sinistro         | 69.457  | 7.925               |
| Distanza dal seno peziolare al seno superiore destro           | 73.386  | 9.532               |
| Lunghezza della nervatura N4'                                  | 55.300  | 6.396               |
| Lunghezza della nervatura N4                                   | 54.921  | 5.916               |
| Lunghezza della nervatura N5'                                  | 24.479  | 5.566               |
| Lunghezza della nervatura N5                                   | 24.964  | 2.982               |
| Lunghezza della foglia compreso il picciolo                    | 234.850 | 16.933              |
| Lunghezza del picciolo   | 101.771 | 12.897              |
| Lunghezza della foglia   | 185.536 | 9.313               |
| Larghezza della foglia   | 175.314 | 9.214               |
| Distanza tra gli estremi delle nervature N3 e N3'              | 169.900 | 9.458               |
| Distanza tra gli estremi delle nervature N4 e N4'              | 88.857  | 7.325               |
| Lunghezza della nervatura N1                                   | 133.107 | 6.691               |
| Distanza tra gli estremi delle nervature N2 e N2'              | 164.264 | 15.411              |
| Lunghezza della nervatura N2'                                  | 116.124 | 7.663               |
| Lunghezza della nervatura N3                                   | 84.436  | 6.859               |
| Larghezza del seno peziolare / Distanza tra i punti SP e SP'   | -29.264 | 3.436               |
| Lunghezza della nervatura N2                                   | 115.171 | 9.007               |
| Lunghezza della nervatura N3'                                  | 86.321  | 7.065               |

| angoli   |        |                     |
|--|--------|---------------------|
| descrittore  | valore | deviazione standard |
| Angolo tra N1 e N2' misurato alla prima biforcazione       | 55.286 | 3.946               |
| Angolo tra N1 e N2 misurato alla prima biforcazione        | 52.407 | 4.191               |
| Angolo tra N2' e N3' misurato alla prima biforcazione      | 47.993 | 5.625               |
| Angolo tra N3 e N4 alla prima biforcazione di N3           | 54.171 | 3.479               |
| Angolo tra N2 e N3 misurato alla prima biforcazione        | 42.929 | 3.097               |
| Angolo tra N1 e N2' misurato agli estremi delle nervature  | 45.514 | 5.455               |
| Angolo tra N2 e N3 misurato agli estremi delle nervature   | 46.386 | 3.438               |
| Angolo tra N3' e N4'                                       | 51.614 | 4.725               |
| Angolo tra N1 e N2 misurato agli estremi delle nervature   | 44.886 | 6.260               |
| Angolo tra N3' e N4' misurato agli estremi delle nervature | 42.957 | 6.035               |
| Angolo di apertura del seno peziolare misurato a SP e SP'  | 67.671 | 9.151               |
| Angolo tra N2' e N3' misurato agli estremi delle nervature | 49.293 | 4.136               |
| Angolo tra N3 e N4 misurato agli estremi delle nervature   | 43.629 | 3.739               |
| Angolo tra I e I' con centro in N1                         | 52.964 | 3.360               |
| Angolo tra D e D' con centro in N1                         | 94.836 | 6.499               |
| Angolo tra S e S' con centro in N1                         | 56.207 | 7.537               |

| rapporti   |           |                     |
|--|-----------|---------------------|
| descrittore  | valore    | deviazione standard |
| Rapporto tra la distanza dal seno la lunghezza della nervatura N2  | 0.640     | 0.092               |
| Rapporto tra la distanza dal seno peziolare la lunghezza della nervatura N2'   | 0.599     | 0.066               |
| Rapporto tra Lunghezza e larghezza della foglia  | 1.059     | 0.036               |
| Rapporto tra la lunghezza del picciolo OP e la lunghezza della nervatura N1  | 0.764     | 0.087               |
| Rapporto tra la lunghezza della nervatura N2 e la lunghezza della nervatura N1   | 0.867     | 0.067               |
| Rapporto tra la lunghezza della nervatura N2' e la lunghezza della nervatura N1  | 0.873     | 0.049               |
| Rapporto tra la distanza dal seno peziolare al seno inferiore destro OI e la lunghezza della nervatura N3  | 0.773     | 0.075               |
| Rapporto tra la distanza dal seno peziolare al seno inferiore sinistro OI' e la lunghezza della nervatura N3'  | 0.747     | 0.054               |
| Rapporto tra la lunghezza della nervatura N3 e la lunghezza della nervatura N1   | 0.635     | 0.055               |
| Rapporto tra l'altezza e la base del dente all'estremità della nervatura N4  | 0.917     | 0.254               |
| Rapporto tra l'altezza e la base del dente all'estremità della nervatura N2'   | 1.247     | 0.353               |
| Rapporto tra l'altezza e la base del dente all'estremità della nervatura N4'   | 0.985     | 0.281               |
| Rapporto tra la somma degli angoli a + b e la somma della distanza tra il seno peziolare e il seno superiore destro OS e il seno peziolare e il seno inferiore destro OI         | 95.343    | 5.773               |
| Rapporto tra la lunghezza della nervatura N5' e la lunghezza della nervatura N1  | 0.184     | 0.042               |
| Rapporto tra l'altezza e la base del dente all'estremità della nervatura N2  | 1.145     | 0.402               |
| Rapporto tra la somma degli angoli a' + b' e la somma della distanza tra il seno peziolare e il seno superiore sinistro OS' e il seno peziolare e il seno inferiore sinistro OI' | 103.286   | 7.130               |
| Rapporto tra la lunghezza della nervatura N4 e la lunghezza della nervatura N1   | 0.413     | 0.045               |
| Rapporto tra la lunghezza della nervatura N3' e la lunghezza della nervatura N1  | 0.649     | 0.047               |
| Rapporto tra la lunghezza della nervatura N5 e la lunghezza della nervatura N1   | 0.188     | 0.021               |
| Rapporto tra la lunghezza della nervatura N4' e la lunghezza della nervatura N1  | 0.416     | 0.045               |
| Prodotto di Lunghezza e larghezza della foglia   | 32587.393 | 3269.947            |